

(討22) 塑性場を含む鋼中の水素の拡散と集積、およびその水素硬化における寄与

1: フル

大阪大学工学部

○菊田英男、落合真一郎
吉永彰一

I. 緒論

近年大型構造物の建造に伴って高張力鋼の需要が増々高まっている。その強度と重量比の高さからこれは当然のことであるが、ここには一つの危険を含んでいる。それは溶接時に鋼中に溶解する水素が溶接残留応力、種々な力学的拘束、又、高張力鋼のマルテンサイト組織等多くの影響と相す、て水素脆化を生じさせることである。この割れは溶接時よりも遙かに遅れて生じること、又その予想が非常に困難であることから高張力鋼へ溶接施工における不安の主原因である。水素脆化割れ、又は一般に水素脆化は20世紀以上も知らされていなかった問題であるが、このといつて明解に解釈、及心性格だけではない。そこで我々はマクロに、かつ定性的には大型塑性場に水素の拡散集中すると、集中部の機械的強度が劣化するという従来の考え方立ち、うちで当85回討論会にて、マクロに軸位-水素の相互作用の強さと材料へ切欠き引張り強度との関係を明らかにした。今ニンニクは切欠き部の応力集中部における塑性変形、従って軸位の増殖、又、不純物による水素の切欠き近傍への応力(歪)誘起拡散を數量化し、その解を求める。導かれた数式は従来のFickの式と同様の拡張形として局部塑性歪 $E_p(x,y)$ を含み、弾塑性力学問題と拡散問題の両方を解かねばならないが、これはコンピューターによる有限要素法を用いて解いた。その結果、時間の経過に伴って大型塑性場に拡散集中してくる水素量が定量化されかつこの水素と試片に負荷してくる荷重の重畠作用で破壊が起るか、この臨界水素量と荷重の関数と求めえた。

II. 応力(歪)誘起拡散式の組立

一般に拡散式といえどFickの式である、これは濃度勾配による考え方(3粒子(今の場合、水素)の流れである。しかし考え方の領域が均質ではなく場合、水素粒子が感じにくくなるため場所によって変化する。しかしこのポテンシャル勾配によくも粒子の流れがあることになる。このポテンシャルと1考え方のものは、格子によく定まる周期ポテンシャル、軸位等の格子へ乱れによるポテンシャルが考え方あるが、これらのポテンシャル場で水素粒子がどのように拡散するかを直接解くのは多体問題となり全く不可能である。そこで問題を、第一近似として、以下のように単純化して定式化を試みた。すなはち水素の存在位置と軸位位置と格子間位置を考え方へとあらわすか、次の理由により軸位位置に主に存在するとする。

1. 水素に比べて軸位位置に存在する方が、格子間位置にあらずとも5500 cal/mol程度のポテンシャルが低い。
2. 実験的観察によると、水素を高温添加し、水素入射した場合(溶接時の熱サイクルに近い)マルテンサイト変態が起り、高軸位密度になら。
3. 高温水素添加した場合には低水素濃度である。(5 P.P.M.程度)
4. 水素放出時の拡散状態を測定すると、その活性化エネルギーは7000~8000 cal/mol程度である。(軸位-水素の相互作用)+(格子拡散の活性化エネルギー)にほぼ一致する。又、この考え方では荷重を負荷したときに切欠き近傍の軸位増殖した所とそれではない所では、水素-軸位の相互作用の強さが異なり、軸位増殖した所への、水素のポテンシャル勾配による拡散が起ると考え方ある。2.2.2を定式化するにあたって、2.2の流れ(J)を次に定義する。新しい濃度相当量 C' の勾配に比例するも

のと仮定する。

$$[1] \quad C' = \frac{N}{L^V} = \frac{1}{L} \frac{N}{V} = \frac{1}{L} C$$

$$[2] \quad J = -\gamma D \frac{\partial C'}{\partial x}$$

ここで N は水素の個数, L は単位体積中の軸位置, V は体積, γ は dimensionality 定数, C は体積濃度

[1] の工学的意味としては (水素の個数) / (水素吸収能) であり。

[2] は x の勾配による流れである。この流れ (J) による物質保存則

(Fick の第 2 式) は図 1 の一次元拡散の場合を表せば次式のようである。

$$[3] \quad \frac{\partial C}{\partial t} = \frac{J_1 - J_2}{dx}$$

$$\text{すなはち} \quad \frac{\partial C}{\partial t} = \frac{\gamma D \frac{\partial C'}{\partial x}|_{x+dx} - \gamma D \frac{\partial C'}{\partial x}|_x}{dx} = \gamma D \frac{\partial^2 C'}{\partial x^2}$$

[1] を使って C' の式に書き改めると

$$[4] \quad \frac{\partial C'}{\partial t} = \frac{\gamma D}{L} \frac{\partial^2 C'}{\partial x^2}$$

これは塑性歪 $\bar{\epsilon}_p$ と軸位置度 L との関係式、一次近似として

$$L = 2\bar{\epsilon}_p + \beta, \quad \gamma, \beta \text{ は定数とすと}$$

$$[5] \quad \frac{\partial C'}{\partial t} = \frac{\gamma D}{2\bar{\epsilon}_p + \beta} \frac{\partial^2 C'}{\partial x^2} \quad \text{すなはち二次元問題では、上記は}$$

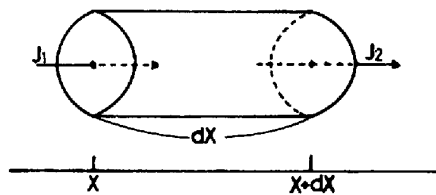


図 1. 一次元拡散モデル

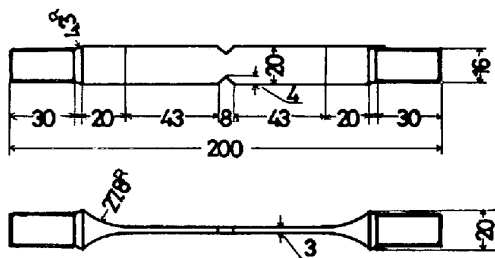


図 2. 試片寸法 市販 HT-60 版.

とする。[6] は通常の Fick の第 2 式における C から C' に代り、拡散定数 γ の前に $\gamma [2\bar{\epsilon}_p(x, y) + \beta]$ (後には述べる有限要素法で各要素内では定数) を乗じてある。この式を解析するには、2 通りの通常の体積濃度 $C(x, y, t)$ の [1] の変換式によると、求めることができる。

III. 有限要素法による解析法

[6] を有限要素法にて解析するには式中 $\bar{\epsilon}_p(x, y)$ という量を入力するため、拡散問題に入れた前に弾塑性問題を解いておかなければならぬ。これは一定荷重下の縮小割合について計算及び実験を行つたもので、図 2 の 3 とき試片について (対称性から試片の 1/4 を示してある) の要素分割はすべて荷重状態にある場合の、平面応力弾塑性問題を表している。又水素は高温添加法によるため $\gamma = 0$ における時は、試片内の均一に分布していって拡散問題を解いた。なお弾塑性問題は、コンピューターデータとして必要な試片材料 (水素高温処理後の水素入射によりマルテンサイト組織に対する) の応力-歪線図を図 4 に示す。

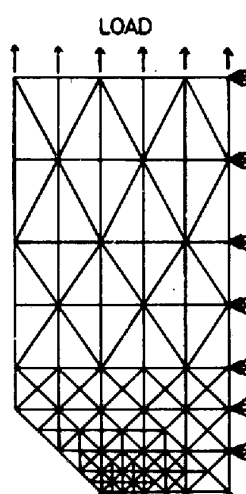


図 3. 有限要素分割
と試片の荷重状態

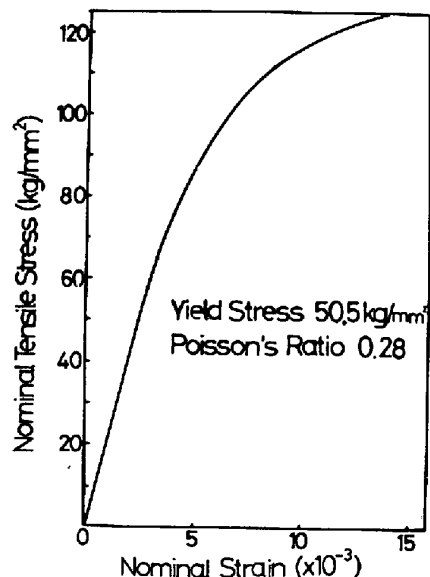


図 4. 高温水素添加法の熱サイクルを受けた HT-60 版の応力-歪線図(全水素放出後)

IV. 解析結果

図5に水素高温添加試験から直後、定荷重下(82.14 kg/mm^2)における全荷重を1/4断面積で割ったもの(たもひ)2-30分経過した時の水素分布を示す。ここで試片外に短時間では、水素が逃散しないといふ境界条件 γ , $D_x = D_y = D$, α , β , γ を図に示すように仮想して計算を行なったものである。図6は水素の逃散を充分考慮して、試片1/4側面での水素濃度分布を2-12計算を行なったものである。少しだけ高水素濃度域は1/4先端より試片内側に移動するところわかる。これため、短時間(100分程度まで)では水素の逃散を無にしてした境界条件 γ の計算でも、2議論を進めても、大きく誤まらないと思われる γ を、以下この境界条件の下での計算結果を語を進めよう。

2-2. 時間経過によると定荷重下(82.14 kg/mm^2)では、たもひ3-1に1/4先端へ要素の水素濃度が高まる、2-12を計算したのが図7である。同様に図8は 69.26 kg/mm^2 の定荷重下での水素分布1/4先端に集積する様を示している。両圖において白丸は初期水素濃度 C_0 (~5ppm.) 黒丸は t_{fr} が 0.7 C_0 の場合である。両圖を比較すると、荷重の違いによると水素へ集積速度が大きく変化することわかる。又、両圖中C_{cr}といふのは臨界水素濃度と呼ばれる量である。2-2-2は単純に荷重比例 γ 、2-2-3も γ (材料の性質は各試片同様 γ は一定)とし、2-2の値を1/4近傍の水素濃度が高まるときの割合が、発生する。(図中 t_{fr} からの遅れ時間である)。この t_{fr} は後述の実験によるとも求まり、2-2と計算が一致するものとお認められたい。2-2-2式を評価することとする。

2-3.

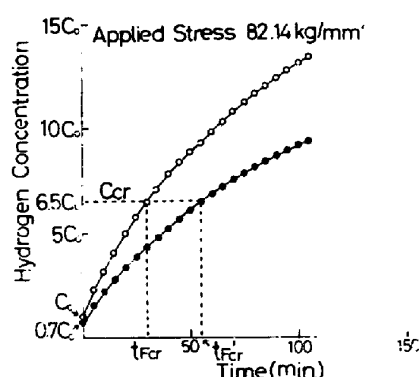


図7. 水素高温添加後、 82.14 kg/mm^2 の定荷重下における、時間とともに高まる1/4底部要素の水素濃度。

IV. 対応せざるべき実験データ

実験は定荷重遅れ時間試験で、二種の初期水素濃度のものについて、荷重を種々変えて行なった。 t_{fr} の結果を図9に示す。図中、初期水素濃度 C_0 , $0.7C_0$ 、とは2-2-1気圧、 $1/2$ 気圧へ水素分圧下での高温添加されたものである。2-2-2破断時間 t_{fr} といふのは、本実験につけては割合発生時間上等価

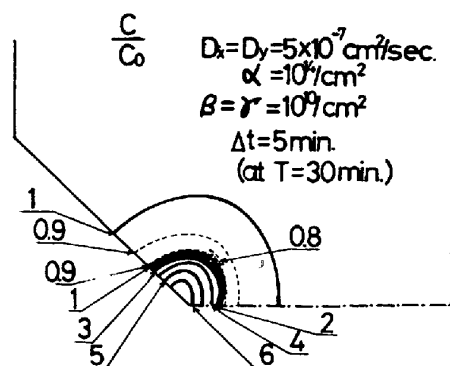


図5. 水素高温添加後、 82.14 kg/mm^2 の定荷重下で30分経過した時の水素濃度分布(1/4試片につけて)

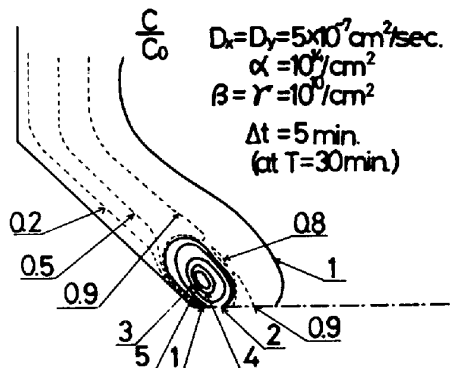


図6. 水素高温添加後、 69.26 kg/mm^2 の定荷重下で30分経過した時の水素濃度分布(1/4試片につけて)

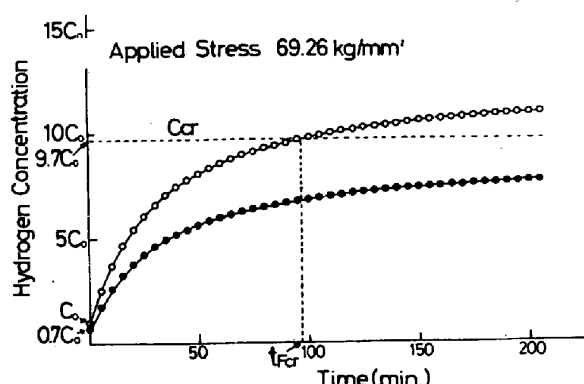


図8. 高温水素添加後、 69.26 kg/mm^2 の定荷重下における、時間とともに高まる1/4底部要素の水素濃度。

これまで述べたとおり、我々のAcoustic Emission法等の検出能力範囲で記載する。

V. 応力(歪)誘起振動式の評価

我々の応力(歪)誘起振動式を直捷、実験証明するには困難であるが、間接的にこの式を評価する方法として次の方法を採用した。すなはち実験(初期水素濃度 C_0 の定荷重亜小割れ曲線について)にて、各荷重状態における t'_{Fer} を測定する。次に、二重等温 F_{cr} を用いてIII-IV遷移に相当する C_{cr} を求める。図10にその結果を示す。この C_{cr} を求ま、たゞ、コンピューターにて、同じ荷重状態ではあるか、しかし異なり、初期水素濃度(これは $0.7C_0$)の場合の t'_{Fer} (図7参照)を求めることとする。二重等温実験の場合(図9に示す右側の曲線)と比較して本式の評価とする。果たして図7の場合の計算値では、 $t'_{Fer} \sim 55$ 分になつたのが実験(図9)においては $t'_{Fer} \sim 62$ 分になつた。又図8-2は $0.7C_0$ へ初期水素濃度では200分程度経過しても1/4部の水素濃度は高まらない。これに対し、実験においても破断は全く起らなかつた。

この式 $D_x = D_y = D, d, \beta, \alpha, \gamma$ と本計算の $\frac{C_{cr}}{C_0}$ に適当に選ぶこと、実験との対応づけが完全でないことがわかる。 F_{cr} 又図10で求めた二重等温状態での臨界水素濃度データとしてあげて、構造物等における、水素に対する初期条件、境界条件を推測でき場合には、構造物への力学的条件によつて遷移小割れが生じるか否か等のコンピューターによるシミュレーションも可能と思われる。

VI.まとめ

本研究は、当該討論会での水素-脆化肉へ相互作用(図11)というミクロな現象を基礎として、応力(歪)誘起振動式を導き、これにより、ミクロな水素、遷移破壊現象に言を継続して23のまとめである。

図11. HT-80材を高温水素添加後に水素冷却加工ビーチ。

① 菊田、杉本、落合、吉田。

『鉄と鋼』(1973).
Vol. 59, No. 2, A72.

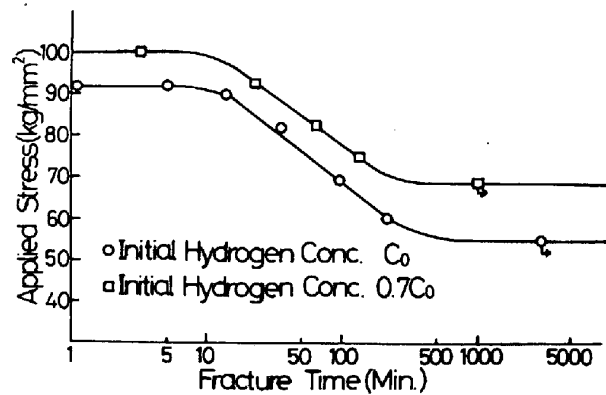


図9. 常温における実験の定荷重亜小割れ曲線(初期水素濃度 C_0 (~5 p.p.m.)と $0.7C_0$ の場合について).

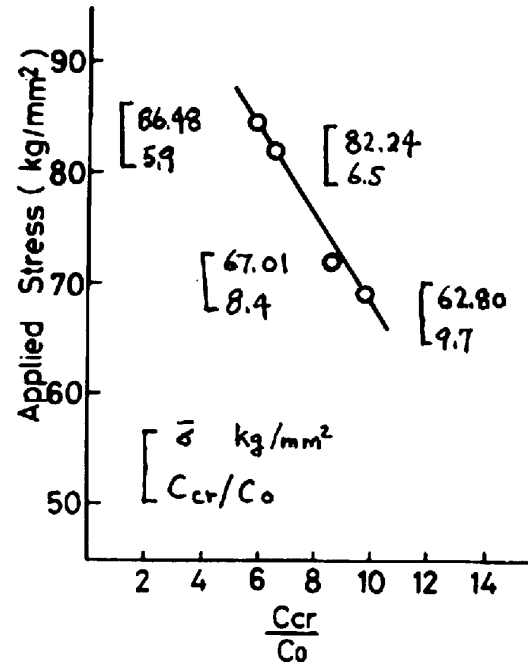


図10. 荷重状態と、3の場合の1/4先端要素における臨界水素濃度との関係。各荷重に相当する1/4先端要素へ相当応力を加えて示してある。

